

I-B280 落石防護擁壁の簡易設計手法開発に関する一検討

北海道	正員	工藤 実高
室蘭工業大学	正員	岸 徳光
北海道開発局	正員	今野 久志
北海道開発局	正員	佐藤 昌志

1.はじめに

本研究では、既往の研究を基に、経済性を考慮してD22鉄筋を20cmピッチに配筋するRC製防護擁壁を提案し、従来までの無筋コンクリート製防護擁壁に関する数値解析結果と比較する形で、その耐衝撃性向上効果について検討を行なった。なお、本数値解析には非線形衝撃応答解析用汎用プログラムLS-DYNAを用いている。

2.数値解析仮定

2.1. 解析ケース

表-1には本研究での解析ケースを一覧にして示している。衝突体である重錘は、すべての解析ケースについて直径50cm、重量1.0tfの鋼製重錘を用いることとした。衝突速度については、各解析ケースともに1, 2, 3, 5, 7m/secとした。また、補強鉄筋は落石対策便覧を参考に全てD22(SD295)を使用し、かぶり10cm、配筋のピッチを20cmとして配筋することとした。なお、擁壁中央断面での補強筋比は擁壁幅L=1mタイプで0.329%，L=2mタイプで0.296%である。図-1には解析ケースRC-0.9-L1の配筋図を示す。

2.2. 擁壁の数値解析モデル

図-2には要素分割の一例として、本数値解析に用いた解析ケースRC-0.9-L1全体の要素分割図を示している。数値解析で用いた要素は、6節点あるいは8節点の三次元固体要素である。擁壁は、厚さ50cmのコンクリート基盤上に設置し、高さ10cmの段差を設けることで後方への滑動を防止する構造としている。なお、コンクリート擁壁、異形鉄筋は弾塑性体、コンクリート基盤、重錘は弾性体と仮定した。擁壁とコンクリート基盤、重錘と擁壁の要素間には浮き上がりやリバウンドを評価するために、面と面の接触・剥離を伴う滑りを考慮した接触面を定義している。解析モデルの総要素数、総節点数は各解析ケースによって若干異なるが、図-2に示す解析ケースRC-0.9-L1のRC擁壁でそれぞれ12570, 14998である。

2.3. 物性モデル

本数値解析ではコンクリートおよび異形鉄筋に対する弾塑性体モデルとしてLS-DYNAにあらかじめ組み込まれている物性モデルを用いることとした。コンクリート要素には引張による破壊を考慮したモデルを用いている。このモデルは負圧力(応力として評価する場合には引張応力)がカットオフ値に達すると引張応力が伝達しないように定義されている。本研究では降伏応力として圧縮強度 f_c をとり、降伏歪を0.15%と仮定した。また、引張側の破壊応力は降伏応力の1/10と仮定している。なお、降伏の判定はvon Misesの降伏条件に従うこととしている。一方、異形鉄筋要素には降伏後の硬化係数 H' を考慮した等方弾塑性体モデルを用

表-1 解析ケース一覧

解析ケース	擁壁高さH ₁	擁壁幅L(m)	解析方法	補強鉄筋
C-0.9-L1-E	2.00	1.00	弾性解析	無し
C-0.9-L2-E		2.00	〃	〃
C-0.9-L1		1.00	弾塑性解析	〃
C-0.9-L2		2.00	〃	〃
RC-0.9-L1		1.00	〃	有り
RC-0.9-L2		2.00	〃	〃

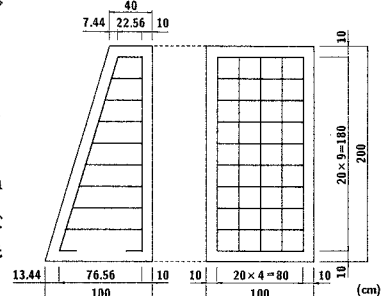


図-1 落石防護擁壁の配筋図

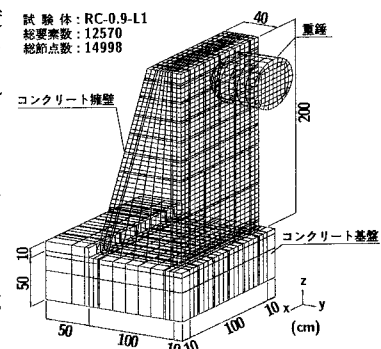


図-2 要素分割図(RC-0.9-L1)

い、降伏後は等方硬化を仮定し、パウシンガー効果は考慮しないものとした。降伏の判定はコンクリート要素と同様に von Mises の降伏条件に従うこととしている。

3. 数値解析結果

3.1. 変位と重錐衝突速度の関係

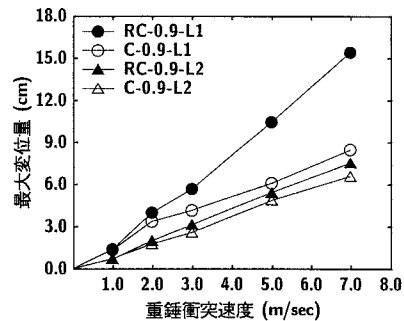
図-3は変位と重錐衝突速度の関係を示している。(a) 図は擁壁の基部(重錐衝突面側)における鉛直方向変位(浮き上がり)を、(b) 図は擁壁の重錐衝突位置における擁壁の塑性化に伴う変位量を示している。なお、変位量は最大応答値を用いている。(a) 図より、L1 タイプの鉛直方向変位は 2 m/sec 載荷時まで無筋コンクリート擁壁、RC擁壁ともに同様の値を示している。しかしながら、その後の変位量は、RC擁壁ではほぼ線形に増加しているのに対し、無筋コンクリート擁壁では増加量が低減し、衝突速度の増加とともにRC擁壁との差が大きくなっている。また、L2 タイプに関しては衝突速度の増加とともに若干の差が見られるがほぼ同様の値を示しており、配筋による影響はさほどないものと考えられる。(b) 図に関しては、C-0.9-L1 で 3 m/sec 載荷以降変位が増大していることより、擁壁は 3 m/sec 以降で大きな損傷を受けるものと推察される。また、C-0.9-L2 では 5 m/sec 載荷以降で同様な傾向が確認できる。しかしながら、RC タイプの両解析ケースでは、7 m/sec 載荷まで顕著な変位の増加傾向を示していない。これより、補強鉄筋を配筋することにより擁壁の耐力が向上し、無筋コンクリート擁壁と比較し、L1 タイプで 3.5 倍(エネルギー的には 12.25 倍)以上、L2 タイプで 2 倍(エネルギー的には 4 倍)以上の耐衝撃安全性を有することがわかる。また、擁壁幅 L に着目すると無筋コンクリート擁壁と RC擁壁の最大塑性変位量の差は L1 タイプの方が大きいことより、補強鉄筋の配筋による効果は L1 タイプの方が大きい。

3.2. 重錐衝撃力と重錐衝突速度の関係

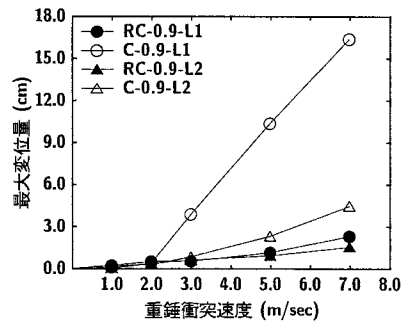
図-4 は最大重錐衝撃力と重錐衝突速度の関係を示している。図より、RC-0.9-L1 の重錐衝撃力は、C-0.9-L1-E と比較して重錐衝突速度が 1, 2 m/sec の場合には同程度の値を示しているが、重錐衝突速度の増加に対応してその差が大きくなっている。また、C-0.9-L1 と比較すると、RC-0.9-L1 は 1, 2 m/sec 載荷時では大きな衝撃力値を示しているものの載荷速度の増加とともに C-0.9-L1 の衝撃力値に漸近する傾向を示している。L2 タイプに関しては、RC-0.9-L2 と C-0.9-L2 の最大重錐衝撃力は各衝突速度で同程度の値を示している。また、C-0.9-L2-E との関係は L1 タイプと類似の性状を示している。以上のことから、本数値解析の解析仮定では擁壁の浮き上がり、塑性変形等の影響により、最大重錐衝撃力と重錐衝突速度の関係に与える配筋の影響は小さいものと推察される。

4. まとめ

本研究では、落石防護擁壁の合理的な耐衝撃設計手法を確立することを目的として、D22 程度の異形鉄筋を 20 cm ピッチに配筋する RC 製防護擁壁を提案し、従来までの無筋コンクリート擁壁に関する数値解析結果と比較する形でその妥当性を検討した。検討結果、重錐衝突速度が 7 m/sec 以下の場合には補強鉄筋の配筋により効率よく損傷を低減可能であることが分かった。また、重錐衝突の塑性変形量に基づいて耐衝撃性を評価すると、提案した配筋手法により、1m 幅のタイプで入力エネルギー的に 12 倍以上、2m 幅で 4 倍以上耐衝撃性が期待できる。



(a) 擁壁基部における鉛直方向変位



(b) 重錐衝突位置における塑性変位

図-3 変位と重錐衝突速度の関係

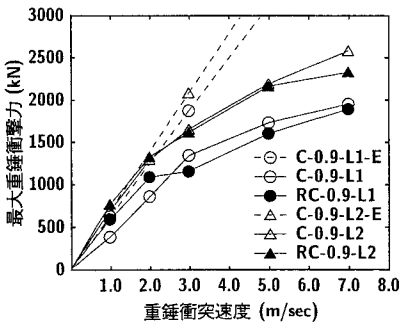


図-4 重錐衝撃力と重錐衝突速度の関係